#### \_\_ ИССЛЕДОВАНИЕ \_\_ ПЛАЗМЫ

УЛК 535.243.538.915

# СПЕКТРЫ, ИНТЕНСИВНОСТИ ЛИНИЙ ПЕРЕХОДОВ $C^1\Sigma_g^+ \Rightarrow A^1\Sigma_u^+$ И $c^3\Sigma_g^+ \Rightarrow a^3\Sigma_u^+$ В ЖИДКОМ НОРМАЛЬНОМ Не И ЗАСЕЛЕННОСТЬ ВРАЩАТЕЛЬНЫХ УРОВНЕЙ ТЕРМОВ $C^1\Sigma_u^+$ И $c^3\Sigma_u^+$

© 2017 г. В. М. Атражев<sup>1, \*</sup>, В. А. Шахатов<sup>2</sup>, Р. Е. Болтнев<sup>1, 3</sup>, N. Bonifaci<sup>4</sup>, F. Aitken<sup>4</sup>, J. Eloranta<sup>5</sup>

<sup>1</sup>Объединенный институт высоких температур РАН, Москва, Россия
<sup>2</sup>Институт нефтехимического синтеза им. Топчиева РАН, Москва, Россия
<sup>3</sup>Филиал Института энергетических проблем химической физики им. В.Л. Тальрозе РАН, Черноголовка, Россия
<sup>4</sup>Laboratoire G2Elab CNRS & Grenoble University, Grenoble, France
<sup>5</sup>Department of Chemistry and Biochemistry, University of Northridge, USA
\*E-mail: atrazhev@yandex.ru
Поступила в редакцию 07.04.2015 г.

Вращательные спектральные линии эксимера  $\operatorname{He}_2^*$  в диапазоне 910-930 нм наблюдались в коронном разряде в нормальном жидком  $\operatorname{He}$  при температуре 4.2 К и давлении 1 атм. Спектральный диапазон заполнен вращательными линиями синглета  $C^1\Sigma_g^+ \Rightarrow A^1\Sigma_u^+$  и триплета  $c^3\Sigma_g^+ \Rightarrow a^3\Sigma_u^+$ . Эти переходы заканчиваются на вращательных уровнях самых низких метастабильных термов  $A^1\Sigma_u^+$  и  $a^3\Sigma_u^+$  эксимера  $\operatorname{He}_2^*$ . При этом заселенность вращательных уровней с номером K' верхних термах  $C^1\Sigma_u^+$  и  $c^3\Sigma_u^+$  (количество молекул с вращательным моментом K' в ансамбле возбужденных молекул в разряде) пропорциональна интенсивности вращательных линий с обозначением K' синглета  $C^1\Sigma_g^+ \Rightarrow A^1\Sigma_u^+$  и триплета  $c^3\Sigma_g^+ \Rightarrow a^3\Sigma_u^+$ . Заселенности могут быть вычислены по экспериментальным интенсивностям вращательных спектральных линий. Излучающая плазма короны в жидком K' неравновесная, и заселенности вращательных уровней не соответствуют больцмановскому распределению. Эффективная вращательная температура превышает температуру 4.2 К жидкого K'

**DOI:** 10.7868/S0040364417010021

#### **ВВЕДЕНИЕ**

Впервые спектры люминесценции жидкого гелия наблюдались в [1], где ионизация гелия создавалась быстрыми частицами, излучаемыми крупицами радиоактивного вещества. Эти спектры были квалифицированы как виброротацион-

ные полосы излучения эксимерных молекул  $He_2^*$ . Затем аналогичные спектры наблюдались в жидком гелии, облученном пучком быстрых электронов [2, 3]. Впоследствии спектральные исследования сместились в область, где жидкий гелий пребывал в виде микрокапелек и облучался синхротронным излучением фиксированной частоты [4].

В исследованиях [5, 6] основное внимание уделено атомарным и молекулярным спектрам жидкого гелия. Проведен анализ молекулярных полос, испускаемых коронным разрядом в жидком нормальном Не при температуре 4.2 К. Люминесценция жидкого Не вызвана коронным разрядом около острого электрода радиуса 2 мкм под напряжением в несколько кВ. Проанализирован

спектр излучения в диапазоне длин волн 910-930 нм, который заполнен вращательными линиями верхних термов  $C^1\Sigma_g^+$  и  $c^3\Sigma_g^+$ . Излучательные переходы с этих термов заканчиваются на вращательных уровнях самых низких метастабильных термов  $A^1\Sigma_u^+$  и  $a^3\Sigma_u^+$  эксимера  $\text{He}_2^*$ . Заселенность вращательных уровней с номером K, принадлежащих верхним термам  $C^1\Sigma_g^+$  и  $c^3\Sigma_g^+$  (количество молекул с вращательным моментом K в ансамбле возбужденных молекул в разряде), пропорциональна интенсивности вращательных линий с номером K. Эта заселенность может быть вычислена из экспериментальных значений интенсивности. Произведенный анализ показывает, что излучение плазмы короны в жидком гелии неравновесное и распределение заселенностей вращательных уровней с номером K' не является распределением Больцмана. При этом эффективная вращательная температура полученного неравновесного распределения превышает температуру 4.2 K жидкого He.

#### ЭКСПЕРИМЕНТ

Создана уникальная установка для исследования спектров люминесценции жидкого гелия при различных давлениях до 50 атм. В данной статье представлены результаты экспериментов в жидком гелии при температуре 4.2 К и давлении 1 атм. Основное внимание уделено спектрам, наблюдаемым в диапазоне длин волн около 920 нм, соответствующем радиационным переходам  $C^1\Sigma_g^+ \Rightarrow A^1\Sigma_u^+$  и  $c^3\Sigma_g^+ \Rightarrow a^3\Sigma_u^+$  в жидком гелии.

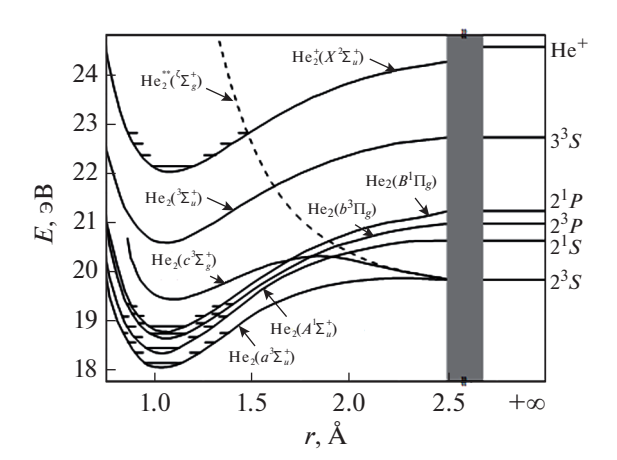
Гелий при температуре 4.2 К и давлении 1— 50 атм. был возбужден коронным разрядом отрицательной и положительной полярностей [5, 6]. Интенсивность видимого света, излучаемого из зоны вблизи острийного электрода, была достаточна для его спектроскопического анализа. Свет, излучаемый из этой области, собирался на входной щели спектрографа (SpectraPro-300i, 300-миллиметровое фокусное расстояние, апертура f/4.0), оборудованного тремя интерференционными линейками (150 шт./мм и две 1200 шт./мм были использованы в 750- и 300-нанометровых диапазонах соответственно). Датчик 2D-CCDTKB-UV/AR расположен непосредственно на выходной плоскости спектрографа. Его размеры составляют  $12.3 \times 12.3$  мм с  $512 \times 512$  пикселями, каждый пиксель —  $24 \times 24$  мкм.

Чтобы уменьшить паразитный ток, датчик охлаждался до температуры 153 К (паразитный ток менее 1е/пиксель/час при 153 К). Инструментальное уширение спектральных линий было измерено при наблюдении профиля линий аргона, излучаемых разрядом низкого давления, и составило  $\Delta \lambda = 0.098$  нм для линейки 1200 шт./мм. Свет, излучаемый короной, собирался, и его спектр исследовался в различных участках диапазона 500-1080 нм. Были идентифицированы атомные линии, соответствующие радиационным переходам между возбужденными состояниями атома Не\*, и молекулярные спектры эксимера Не<sup>\*</sup>. При низком давлении линии тонкие, и их положение соответствует атомным линиям и молекулярным спектрам в разреженном газообразном гелии. Сильный спектральный континуум во всем исследуемом диапазоне длин волн появляется в спектрах при давлениях выше P = 50 атм. Кроме того, ширина линий увеличивается с ростом давления, и их интенсивность уменьшается. Никакие атомарные линии и радиационные переходы эксимера Не наблюдались в спектре при давлении выше 60 атм. Атомные спектральные линии демонстрируют фиолетовый сдвиг и уширение, возрастающие с увеличением давления.

На данной установке получен ряд результатов. Для длин волн 660 и 640 нм, соответствующих переходам между термами  $d^{3}\Sigma_{u}^{+}$ ,  $D^{1}\Sigma_{u}^{+}$  и  $b^{3}\Pi_{g}$ ,  $B^{1}\Pi_{g}$ , прослеживается метаморфоза формы спектров (сдвига и ширины линий) при увеличении давления [6]. При использовании решетки 1200 шт./мм получены спектры с разрешением вращательных линий этих молекулярных переходов. Врашательная структура разрешена при давлениях 1–2 атм. Неразрешенная электронно-колебательно-вращательная структура, зарегистрированная при 6 атм., напоминает спектр, полученный в [2], где сверхтекучий гелий НеП был возбужден пучком электронов. Измеренный сдвиг вращательных линий хорошо согласуется с экспериментальными данными [3], полученными в сверхтекучем HeII при 1.7 К. Отметим, что вращательная структура полос синглета  $D^1\Sigma_u^+ \Rightarrow B^1\Pi_g$  и триплета  $d^3\Sigma_u^+ \Rightarrow b^3\Pi_g$ , разрешенная для давлений менее 2 атм. [6], подобна спектру, наблюдаемому при люминесценции жидких капель Не, возбужденных синхротронным излучением [4]. Коротковолновое смешение атомной линии 706.5 нм достигает 8 нм при высоких давлениях и его величина сравнима с уширением линии.

## СТРУКТУРА ВРАЩАТЕЛЬНЫХ УРОВНЕЙ СИНГЛЕТНЫХ C И A И ТРИПЛЕТНЫХ c И a ТЕРМОВ

Напомним обозначения возбужденных состояний молекулы (эксимера)  $He_2^*$ . Электронное состояние соответствует какому-либо терму. Терм — энергия молекулы, как функция расстояния между атомами R. Примеры обозначения термов представлены на рис. 1. В данной работе речь



**Рис. 1.** Термы возбужденных состояний эксимера  $\text{He}_2^*$ : верхние термы  $C^1\Sigma_u^+,\ c^1\Sigma_u^+$  и нижние термы  $A^1\Sigma_u^+,\ a^1\Sigma_u^+$  указаны стрелками.

пойдет о термах  $C^1\Sigma_u^+$  и  $c^3\Sigma_u^+$  (верхние термы с большей энергией) и термах  $A^1\Sigma_u^+$ ,  $a^3\Sigma_u^+$  (нижние термы с меньшей энергией). Каждый из них имеет минимум при  $R\approx 1$  Å, около которого атомы молекулы совершают колебания, различающиеся квантовым числом  $\mathbf{v}=0$ , 1, 2 и т.д. Здесь имеем дело с переходами между колебательными состояниями  $\mathbf{v}'=0$  верхних термов и  $\mathbf{v}''=0$  нижних термов. Кроме того, молекула совершает вращения, каждое из которых характеризуется квантовыми числами K и J, о которых речь пойдет ниже.

Волновая функция колебательно-вращательного состояния терма  $\Sigma$  симметрична относительно перестановки ядер, если терм четный и имеет положительный знак или терм нечетный и имеет отрицательный знак [7]. Верхние термы  $C^1\Sigma_g^+$ ,  $c^3\Sigma_g^+$  — четные (индекс g), и для их симметричного состояния у них должен быть положительный знак. Знак вращательного состояния терма  $\Sigma_g^+$  есть  $(-1)^K$ , где квантовое число вращательного состояния  $K = \Lambda$  (электронный орбитальный момент) + N (вращательный момент ядер) является полным вращательным моментом молекулы без спина. Итак, квантовые числа  $K^*$  уровней терма  $C^1\Sigma_g^+$  (случай Хунда b) четны и  $K^* = \Lambda$ ,  $\Lambda + 2$ ,  $\Lambda + 4 = 0$ , 2, 4...

Нижние термы  $A^1\Sigma_u^+$  и  $a^3\Sigma_u^+$  являются нечетными (индекс u) и их вращательные состояния должны иметь отрицательный знак. Таким образом, квантовые числа K" вращательных уровней термов  $A^1\Sigma_u^+$  и  $a^3\Sigma_u^+$  (случай Хунда b) нечетные и имеют K" =  $\Lambda$  + 1,  $\Lambda$  + 3, ... = 1, 3...

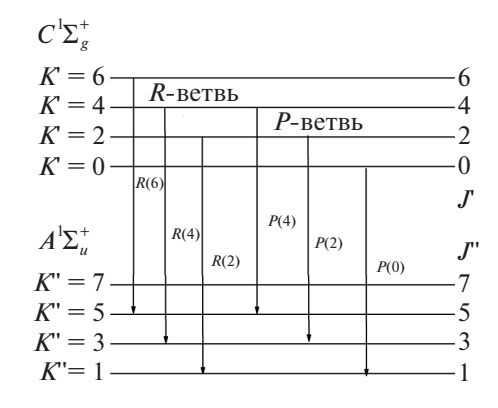
### ПЕРЕХОДЫ МЕЖДУ ВРАЩАТЕЛЬНЫМИ УРОВНЯМИ ТЕРМОВ $C^1\Sigma_{\mathfrak{g}}^+, A^1\Sigma_{\mathfrak{u}}^+$ И $c^3\Sigma_{\mathfrak{g}}^+, a^3\Sigma_{\mathfrak{u}}^+$

Каждая спектральная линия соответствует радиационному переходу между вращательными уровнями верхнего и нижнего термов. Уровни характеризуются квантовыми числами K вращательного момента молекулы.

Изменение квантового числа K радиационного перехода между вращательными уровнями соответствует  $\Delta K = K' - K''$ , где K' и K'' - вращательные числа верхнего и нижнего уровней [7]. Эти уровни и переходы между ними показаны на рис. 2. Они объединены в группы (ветви), такие как

$$P$$
-ветвь:  $\Delta K = K' - K'' = -1$  и  $K'' = K' + 1$ ,  $R$ -ветвь:  $\Delta K = K' - K'' = +1$  и  $K'' = K' - 1$ .

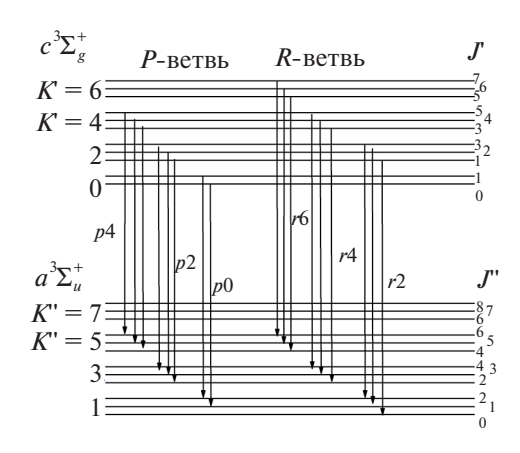
Обычно переходы между вращательными уровнями обозначаются числом K" — номером нижнего уровня перехода. Для вычисления заселенности верхнего уровня с номером K нужны интенсивность линий и факторы Хенля—Лондо-



**Рис. 2.** Вращательные уровни синглетных термов  $C^1\Sigma_g^+$  и  $A^1\Sigma_u^+$  и переходы между ними.

на как функции номера K верхнего уровня. Обычно эти параметры даны как функции полного вращательного момента  $J^{"}$  нижнего уровня перехода. Связь K' с J'' различается для разных ветвей, и вычисления этой связи должны быть сделаны для каждой из ветвей отдельно. Переходы между вращательными уровнями синглетных термов  $C^1\Sigma_u^+$  и  $A^1\Sigma_u^+$  представлены схематично на рис. 2. В действительности уровни не эквидистанты и длины волн переходов между уровнями различны. В дальнейшем будем говорить о линиях определенной ветви P или R с номером K. 3десь K — вращательный момент молекулы без спина. Числа K для уровней верхнего терма  $C^1\Sigma_g^+$  четные, а числа K'' для уровней нижнего терма  $A^{1}\Sigma_{u}^{+}$  — нечетные. Квантовые числа вращательных моментов K верхних уровней выбраны в качестве обозначения переходов.

Структура вращательных уровней триплетных верхнего  $c^3\Sigma_g^+$  и нижнего  $a^3\Sigma_u^+$  термов более сложная. Триплетные термы имеют равный единице спин. Верхний триплетный терм  $c^3\Sigma_g^+$  имеет равный нулю электронный орбитальный момент и спин, равный единице:  $\Lambda = 0$ , S = 1 ( $^{3}\Sigma$ -состояние); величина 2S + 1 = 3 является мультиплетностью терма. Собственная функция состояния молекулы Не<sup>\*</sup> должна быть "симметричной" относительно перестановки ядер [7]. Согласно изложенному выше правилу, терм "симметричен", если он четный и имеет положительный знак или он нечетный и имеет отрицательный знак. Терм  $c^3\Sigma_g^+$  является четным (индекс g) и его состояние симметрично при положительном знаке. Знак терма  $\Sigma^+$  равен  $(-1)^K$ , где K является полным моментом молекулы без спина. Квантовые числа K' вращательных уровней терма  $c^3\Sigma_g^+$  (слу-



**Рис. 3.** Схема вращательных уровней и переходы между триплетными термами  $c^3\Sigma_g^+$  и  $a^3\Sigma_u^+$ : главные переходы указаны вертикальными стрелками; индикация переходов (спектральных линий) дана для P- и R-ветвей; номер перехода (спектральной линии) — номер K верхнего уровня перехода.

чай Хунда b) четные и составляют  $K = \Lambda$ ,  $\Lambda + 2$ ,  $\Lambda + 4 = 0, 2, 4...$ 

Нижний терм  $a^3\Sigma_u^+$  отличается от верхнего терма  $c^3\Sigma_g^+$  четностью (индекс u вместо индекса g). Терм  $a^3\Sigma_u^+$  нечетный, и его состояние симметрично, если знак отрицательный. Знак вращательных состояний терма  $\Sigma^+$  равен  $(-1)^K$ , поэтому квантовые числа K'' уровней терма  $a^3\Sigma_u^+$  (случай Хунда b) нечетные:  $K'' = \Lambda + 1$ ,  $\Lambda + 3$ , 5...

Каждый K-уровень триплетного терма вырожден и содержит три уровня с различным числом J: J = K - 1, J = K, J = K + 1, где J - квантовое число полного момента молекулы с учетом спина. Энергия, разделяющая эти три уровня, пренебрежимо мала, и эти уровни объединяются в один уровень с номером K. Поэтому спектральная линия с номером K состоит из трех линий с различными числами J (рис. 3).

Переходы между вращательными уровнями триплетных термов  $c^3\Sigma_g^+$  и  $a^3\Sigma_u^+$  представлены на рис. 3. За изменение полного момента J молекулы примем  $\Delta J = J' - J''$ , где J' и J'' - полные моменты верхнего и нижнего уровней [8]. По правилам отбора для радиационных переходов  $\Delta J = +1$  для R-ветви и  $\Delta J = -1$  для P-ветви.

Правила отбора по квантовым числам K аналогичны: для R-ветви  $\Delta K = +1$ , для P-ветви  $\Delta K = -1$ . Переходы — главные, если  $\Delta K = \Delta J$ . Есть шесть главных переходов: P1, P2, P3, R1, R2, R3. Переход, обозначенный K, состоит из трех переходов (мультиплета) с различными числами J. Цифра 1 (например, P1) обозначает переход P-ветви от уровня с максимальным числом J в мультиплете,

обозначение 3 (например, P3) — переход от уровня с минимальным числом J в мультиплете. Каждая из таких линий соответствует переходу от уровня J мультиплета K верхнего терма к уровню J" мультиплета терма K". Для переходов R-ветви J" = J — 1; главные переходы R-ветви: K  $\Rightarrow$  K" = K — 1 и J" = J — 1. Переходы D-ветви — D" = D + 1 (рис. 3).

#### РАСЧЕТ ДЛИН ВОЛН ВРАШАТЕЛЬНЫХ ЛИНИЙ

Для расчета длины волны линий переходов между синглетными термами  $C^1\Sigma$  и  $A^1\Sigma$  взяты спектральные константы  $B_e$ ,  $\alpha$ , и  $D_v$  из [8–11]. Будем рассматривать вращательную структуру переходов между колебательными уровнями (v'=0, v''=0). Энергия перехода между этими уровнями  $E_0=10.945.5~{\rm cm}^{-1}$  [8] — это "начало" полосы с длиной волны 913.62 нм. Уровень K=0 является уровнем "нулевой энергии" для верхнего терма  $C^1\Sigma$ , уровень K''=1 — уровень "нулевой энергии" нижнего терма  $A^1\Sigma$ .

Спектральные параметры:

$$B_{\rm v}(C^1\Sigma) = B_e - \alpha({\rm v} + 1/2) = 6.945 \text{ cm}^{-1},$$
  
 $B_{\rm v}(A^1\Sigma) = 7.672 \text{ cm}^{-1},$   
 $D_{\rm v}(^1\Sigma) = 5.24 \times 10^{-4} \text{ cm}^{-1}.$ 

Энергия перехода  $K \Rightarrow K''$  между вращательными уровнями термов  $C^1\Sigma$  и  $A^1\Sigma$ :

$$E_{K'}(C^{1}\Sigma) - E_{K''}(A^{1}\Sigma) =$$

$$= B_{v}(C^{1}\Sigma)K'(K'+1) - D_{v}(C^{1}\Sigma) \times$$

$$\times [K'(K'+1)]^{2} - B_{v}(A^{1}\Sigma)K''(K''+1) +$$

$$+ D_{v}(A^{1}\Sigma)[K''(K''+1)]^{2} + E_{0},$$

где  $D_{\rm v}$  — параметр, характеризующий ангармонизм терма.

P-ветвь: K'' = K' + 1. Энергия  $E_{K'K''}$  между вращательными уровнями K' и K'' как функция номера K' верхнего уровня P-перехода составляет

$$E_{K'K''} = 6.945 \left[ \text{cm}^{-1} \right] K'(K'+1) - D_{v} \left[ K'(K'+1) \right]^{2} -$$

$$- 7.672 \left[ \text{cm}^{-1} \right] (K'+1)(K'+2) +$$

$$+ D_{v} \left[ (K'+1)(K'+2) \right]^{2}.$$

Длины волн для линий P-ветви с различными K рассчитываются как

$$\lambda_{P}(K') = \frac{913.62 \text{ [HM]}}{\left(1 + \frac{E_{K'K'+1}}{E_{0}}\right)} = \frac{913.62 \text{ [HM]}}{\left(1 + \frac{6.945K'(K'+1) - 7.672(K'+1)(K'+2) + 21 \times 10^{-4}(K'+1)^{3}}{10945.5}\right)}$$

Поскольку величина  $E_{KK}$  отрицательна для P-ветви, линии P-ветви находятся с красной стороны относительно центра полосы 913.62 нм, и для K=0, 2, 4, 6... их длины волн:  $\lambda_p(0)=914.9$  нм,  $\lambda_p(2)=917.8$  нм,  $\lambda_p(4)=921.28$  нм,  $\lambda_p(6)=925.22$  нм и т.л.

R-ветвь: K'' = K' - 1. Энергия между вращательными линиями K' и K'' уровней синглетных тер-

мов  $C^1\Sigma$  и  $A^1\Sigma$  как функция номера K' верхнего уровня соответствует

$$E_{KK''} = 6.945 \left[ \text{cm}^{-1} \right] K'(K'+1) - D_{v} \left[ K'(K'+1) \right]^{2} - 7.672 \left[ \text{cm}^{-1} \right] (K'-1) K' + D_{v} \left[ (K'-1) K' \right]^{2}.$$

Длина волны линий R-ветви с различными номерами K определяется как

$$\lambda_P(K') = \frac{913.62 \text{ [hm]}}{\left(1 + \frac{E_{K'K'-1}}{E_0}\right)} = \frac{913.62 \text{ [hm]}}{\left(1 + \frac{6.945K'(K'+1) - 7.672(K'-1)K' - 21 \times 10^{-4}K'^3}{10945.5}\right)}.$$

Линии R-ветви находятся на фиолетовой стороне относительно центра полосы 913.62 нм, так как  $E_{K'K''}$  положительна для R-ветви. Длины волн линий с различными K' составляют:  $\lambda_{K'=2} = 911.4$  нм,  $\lambda_{K'=4} = 909.7$  нм,  $\lambda_{K'=6} = 908.6$  нм,  $\lambda_{K'=8} = 907.9$  нм.

Длины волн линий, вычисленные для P- и R-ветвей переходов синглета  $C^1\Sigma \Rightarrow A^1\Sigma$ , совпадают с данными [9].

Аналогичным методом вычисляются длины волн вращательных линий переходов между триплетными термами  $c^3\Sigma$  и  $a^3\Sigma$ . Спектральные константы для расчета линий триплетных переходов отличны от констант синглетных переходов и взяты из [4, 7, 8]:

$$B_{\rm v}(c^3\Sigma) = B_e - \alpha({\rm v} + 1/2) = 6.855 \text{ cm}^{-1},$$
  
 $B_{\rm v}(a^3\Sigma) = 7.586 \text{ cm}^{-1},$   
 $D_{\rm v}(a^3\Sigma) = 5.62 \times 10^{-4} \text{ cm}^{-1},$   
 $D_{\rm v}(c^3\Sigma) = 5.58 \times 10^{-4} \text{ cm}^{-1}.$ 

Уровень K = 0 является уровнем "нулевой энергии" для верхнего терма  $c^3\Sigma$ , а уровень K'' = 1

уровнем "нулевой энергии" для нижнего терма  $a^3\Sigma$ . Энергия между этими уровнями  $E_0=10889.48~{\rm cm}^{-1}$  [7] — "центр" полосы с длиной волны 918.32 нм. Энергия перехода  $K'\Rightarrow K''$  составляет

$$E_{K'} - E_{K''} = 6.855 [\text{cm}^{-1}] K'(K'+1) -$$

$$-7.586 [\text{cm}^{-1}] K''(K''+1) + D_{v}[K''(K''+1)]^{3} -$$

$$-D_{v}[K'(K'+1)]^{3} + E_{0}.$$

Используя соотношения между *К*' и *К*" для различных ветвей, получаем длины волн различных линий этих ветвей.

P-ветвь K'' = K' + 1. Энергия между вращательными линиями перехода уровней K' и K'' составляет

$$E_{K'K''} = 6.855[\text{cm}^{-1}]K'(K'+1) - D_{v}[K'(K'+1)]^{2} -$$

$$- 7.586[\text{cm}]^{-1}(K'+1)(K'+2) +$$

$$+ D_{v}[(K'+1)(K'+2)]^{2}.$$

Длина волны линий P(K)-ветви с номером K вычисляется по формуле

$$\lambda_P(K') = \frac{918.32 \text{ [HM]}}{\left(1 + \frac{E_{K'K'+1}}{E_0}\right)} = \frac{918.32 \text{ [HM]}}{\left(1 + \frac{6.855K'(K'+1) - 7.586(K'+1)(K'+2) + 22.4 \times 10^{-4}(K'+1)^3}{10889.48}\right)}.$$

Линии P-ветви находятся в красной стороне относительно центра группы 918.32 нм, так как  $E_{K'K''}$  отрицательна для P-ветви. Их положения для различных K' соответствуют  $\lambda_P(0) = 919.6$  нм,  $\lambda_P(2) = 922.54$  нм,  $\lambda_P(4) = 926$  нм,  $\lambda_P(6) = 930$  нм и т.д.

R-ветвь: K'' = K' - 1. Энергия между вращательными линиями перехода уровней K' и K'' определяется как

$$E_{K'K''} = 6.945 \left[ \text{cm}^{-1} \right] K' (K'+1) - 7.672 \left[ \text{cm}^{-1} \right] \times (K'-1) K' - D_{v} \left[ K' (K'+1) \right]^{2} + D_{v} \left[ (K'-1) K' \right]^{2}.$$

Длина волны линии R-ветви с номером K вычисляется по формуле

$$\lambda_R(K') = \frac{918.32 \text{ [HM]}}{\left(1 + \frac{E_{K'K'-1}}{E_0}\right)} = \frac{918.32 \text{ [HM]}}{\left(1 + \frac{6.855K'(K'+1) - 7.586(K'-1)K' - 22.4 \times 10^{-4}K'^3}{10889.48}\right)}$$

 $E_{K'K'}$  положительна для R-ветви и длины волн линий с различными K составляют  $\lambda_R(2)=916$  нм,  $\lambda_R(4)=914.5$  нм,  $\lambda_R(6)=913.3$  нм,  $\lambda_R(8)=912.7$  нм и т.л.

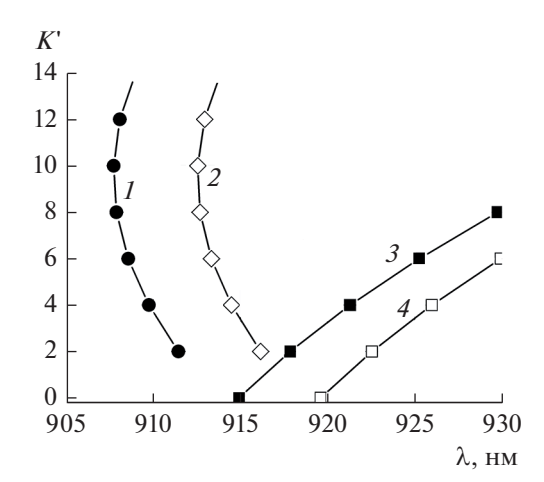
Длины волн для линий P- и R-ветвей синглетных и триплетных переходов совпадают с данными [9].

Значения длин волн  $\lambda_K$  и номера K линий P- и R-ветвей приведены на рис. 4. Каждый символ означает длину волны линии (абсцисса) и номер K верхнего уровня перехода (ордината). Много линий R-синглета и R-триплета сконцентрировано около длины волны 910 нм.

У линий P-ветви как синглета, так и триплета с ростом номера линии K растет и длина волны. У линий R-ветви эта зависимость неоднозначна. Интервал длин волн от 908 до 915 нм заполнен множеством R-линий обеих ветвей.

#### ФАКТОРЫ ХЕНЛЯ–ЛОНДОНА СИНГЛЕТНЫХ И ТРИПЛЕТНЫХ ПЕРЕХОДОВ

Интенсивность вращательной спектральной линии равна произведению заселенности верхнего вращательного уровня p(K') на фактор Хенля—Лондона S(K') перехода  $K' \Rightarrow K''$ . Факторы Хенля—Лондона S(K') переходов между вращательными уровнями синглетов  $C^1\Sigma_g^+$  и  $A^1\Sigma_u^+$  представлены в



**Рис. 4.** Длины волн  $\lambda$  и номера K верхних уровней линий P- и R-ветвей триплетных  $c \Rightarrow a$  и синглетных  $C \Rightarrow A$  переходов: I — синглет R, 2 — триплет R, 3 — синглет P, 4 — триплет P.

табл. 1 [8]. Эти факторы различны для разных ветвей.

Рассмотрим факторы Хенля—Лондона триплетных переходов [8]. Каждый переход  $K' \Rightarrow K''$  состоит из трех переходов между уровнями мультиплета. Факторы Хенля—Лондона для переходов Q-ветви равны нулю, так как нет Q-переходов между вращательными уровнями термов  $c^3\Sigma_g^+ \Rightarrow a^3\Sigma_u^+$ . Факторы Хенля—Лондона для переходов P- и R-ветвей приведены в табл. 2 как функции полного момента J'' нижнего уровня (вторая и шестая колонки).

Для вычисления интенсивности вращательных линий необходимы факторы Хенля—Лондона как функции номера верхнего уровня K. Соотношения между числами J" и K различаются для ветвей P и R, они приведены в табл. 2 (четвертая и восьмая колонки).

Интенсивность P-линии с номером K равна сумме интенсивностей трех линий триплета, и фактор Хенля—Лондона мультиплета K составляет

$$S_P(K') = \frac{(K'+1)(2K'+5)}{(2K'+3)} + \frac{(K'+2)K'}{(K'+1)} + \frac{(K'+1)(2K'-1)}{(2K'+1)} \approx 3.115K' + 1.667.$$

Для факторов Хенля—Лондона R-переходов как функции номера верхнего уровня K на основании тех же рассуждений с поправкой на другую связь чисел J" и K (табл. 2, седьмая колонка) получаем

$$S_R(K') = \frac{(2K'+3)K'}{(2K'+1)} + \frac{(K'+1)(K'-1)}{K'} + \frac{(2K'-3)K'}{(2K'-1)} \approx 3.125K' - 1.25.$$

Факторы Хенля—Лондона для P- и R-ветвей и их аппроксимации используются в последующих вычислениях.

**Таблица 1.** Факторы Хенля—Лондона для синглетных переходов как функция номера K верхнего вращательного уровня

Факторы Хенля—Лондона $S(K)$	Ветвь
$S_P(K=0, 2, 4) = K+1$	P
$S_R(K=2, 4, 6) = K$	R

$P_1(J'')$	$\frac{(2J''+1)(J''-1)}{(2J''-1)}$	J"=K'+2	$\frac{(K'+1)(2K'+5)}{(2K'+3)}$	$R_1(J")$	$\frac{(2J'' + 3)J''}{(2J'' + 1)}$	J'' = K'	$\frac{(2K'+3)K'}{(2K'+1)}$
$P_2(J'')$	$\frac{(J''+1)(J''-1)}{J''}$	J"=K+1	$\frac{(K'+2)K'}{(K'+1)}$	$R_2(J")$	$\frac{(J^{"}+2)J^{"}}{(J^{"}+1)}$	J"=K-1	$\frac{(K'+1)(K'-1)}{K'}$
$P_3(J'')$	$\frac{(2J''-1)(J''+1)}{(2J''+1)}$	J" = $K$	$\frac{(K'+1)(2K'-1)}{(2K'+1)}$	$R_3(J")$	$\frac{(2J''+1)(J''+2)}{(2J''+3)}$	J"=K-2	$\frac{(2K-3)K'}{(2K'-1)}$

**Таблица 2.** Факторы Хенля—Лондона как функции квантового числа J" нижнего уровня [8] и номера K верхнего уровня

### АНАЛИЗ ЛИНИЙ СИНГЛЕТА C-A И ТРИПЛЕТА c-a ЭКСПЕРИМЕНТАЛЬНЫХ СПЕКТРОВ В ЖИДКОМ ГЕЛИИ ПРИ 4.2 К

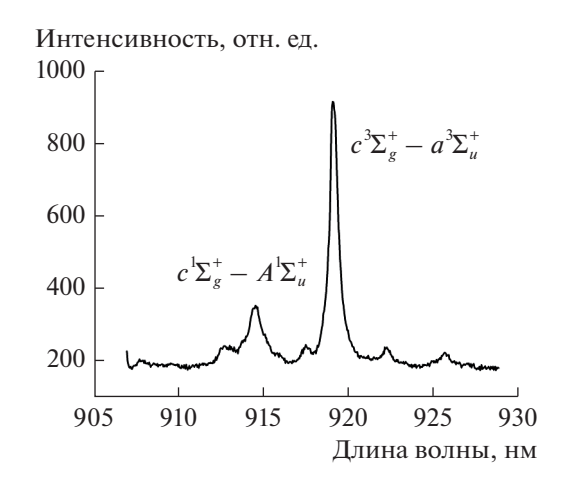
Анализ основан на экспериментальных данных, представленных на рис. 5, с учетом длин волн, рассчитанных по формулам, приведенным выше. Каждый максимум интенсивности имеет длину волны, близкую к длине волны спектральной линии в вакууме [8]. Большой пик интенсивности при  $\lambda \approx 919$  нм принадлежит линии p(K=0) перехода P-ветви триплета  $c^3\Sigma_g^+ \Rightarrow a^3\Sigma_u^+$  (рис. 5, 6). Две линии со стороны больших длин волн от максимума при 919 нм — триплетные линии p(2) и p(4).

Интерпретация спектральных линий со стороны более коротких длин волн от максимума труднее. Линии R-ветви триплета  $c^3\Sigma_g^+ \Rightarrow a^3\Sigma_u^+$  занимают диапазон более коротких длин волн, чем 915 нм (рис. 6). Линия P(0) синглета  $C^1\Sigma_g^+ \Rightarrow A^1\Sigma_u^+$  дает очевидный пик интенсивности слева от главного максимума p(0) (рис. 6).

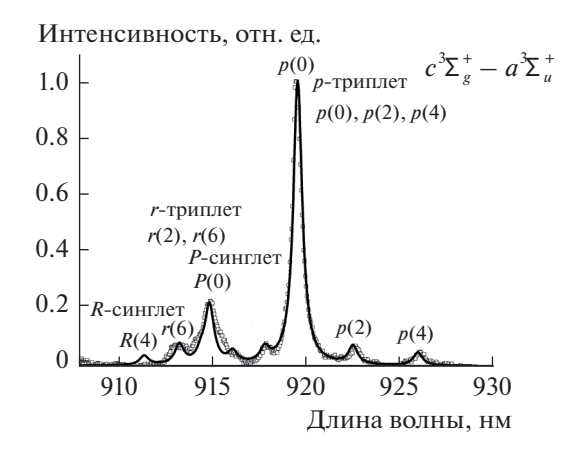
Моделирование экспериментального спектра на рис. 6 выполнено как суперпозиция вращательных линий с профилем Лоренца. Ширина линий выбрана 0.58 нм, линии были сдвинуты на

0.45 нм в синюю сторону спектра. Таким образом, было установлено, что экспериментальные линии сдвинуты на 0.45 нм в синюю сторону от вакуумного положения. Сдвиг 0.45 нм и ширина линий 0.58 нм являются функциями давления в жидкости [12]. Это — главный аргумент в пользу модели, по которой возбужденный атом Не\* в жидкости окружен пустым пузырьком. Пузырек — следствие дальнодействующего отталкивания возбужденного атома Не\* и атома Не в основном состоянии.

У трех линий P-ветви перехода триплета p(0), p(2), p(4) (рис. 6) длины волн в диапазоне 920—927 нм и их интенсивность достаточна для дальнейшего вычисления заселенности верхних вращательных уровней. У линий r(2) и r(4) из R-ветви триплетных переходов длины волн в диапазоне 914—916 нм. Их интенсивность мала и не разрешена. Линия R(0) из R-ветви синглетного перехода отчетливо видна в спектральном диапазоне 912—914 нм. Расположенная рядом линия синглетной P-ветви P(0) увеличивает ее интенсивность и не позволяет использовать для расчета заселенности синглетного уровня K = 0.

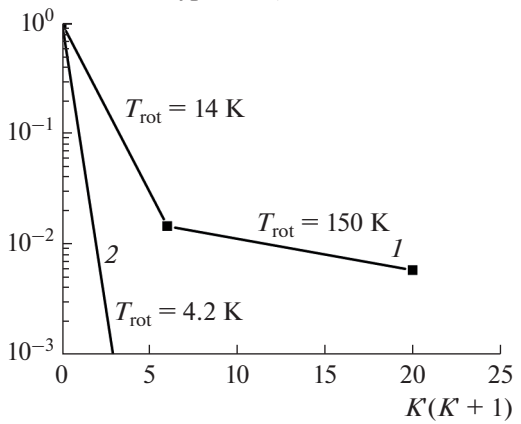


**Рис. 5.** Экспериментальный спектр в диапазоне 907—928 нм, измеренный в коронном разряде в жидком гелии при температуре 4.2 K и давлении 0.1 МПа.



**Рис. 6.** Моделирование спектра, наблюдаемого в коронном разряде в жидком гелии в диапазоне длин волн 910—930 нм: около максимумов указаны ветвь и номера линий.

Заселенность уровней, отн. ед.



**Рис.** 7. Распределение заселенности вращательных уровней верхнего триплетного терма  $c^3\Sigma$ , вычисленное по экспериментальным данным, полученным в коронном разряде в жидком гелии при температуре 4.2 К и давлении 0.1 МПа (*I*) и соответствующее распределение Больцмана (*2*).

# ЗАСЕЛЕННОСТИ ВРАЩАТЕЛЬНЫХ УРОВНЕЙ ТЕРМОВ $C^1\Sigma_g^+$ И $c^3\Sigma_g^+$ , ВЫЧИСЛЕННЫЕ ПО ИНТЕНСИВНОСТИ ВРАЩАТЕЛЬНЫХ ЛИНИЙ

Интенсивность вращательной линии с номером K равна произведению заселенности верхнего уровня p(K') и фактора Хенля—Лондона S(K') перехода. Факторы Хенля—Лондона различны для синглетных и триплетных переходов и для линий различных ветвей. Интенсивность I(K') и заселенность p(K') верхнего уровня термов связаны соотношениями

$$I_P(K') \propto (3.12K' + 1.67) p(K'), \quad K' = 0, 2, 4...;$$
  
 $I_R(K') \propto (3.13K' - 1.27) p(K'), \quad K' = 2, 4...$ 

для триплетных вращательных линий и соотно-шениями

$$I_P(K') \propto (K'+1) p(K'), \quad K' = 0, 2, 4 ...;$$
  
 $I_R(K) \propto K' p(K'), \quad K = 2, 4 ...$ 

для синглетных линий. Эти выражения использованы для расчета заселенностей вращательных уровней верхних термов как функции номера уровня K. Для равновесных условий заселенности соответствуют распределению Больцмана  $p(K) \sim \exp(-B_e(K+1)K/T_r)$ , где  $T_r$  — вращательная температура. При этом зависимость  $\ln[p(K)]$  от (K+1)K выражается на графике прямой линией. Ее наклон тем больше, чем меньше  $T_r$ 

Экспериментальный спектр был использован для расчета заселенности вращательных уровней верхних термов  $C^1\Sigma_g^+$  и  $c^3\Sigma_g^+$ . Предварительный анализ показал, что область спектра 910—920 нм

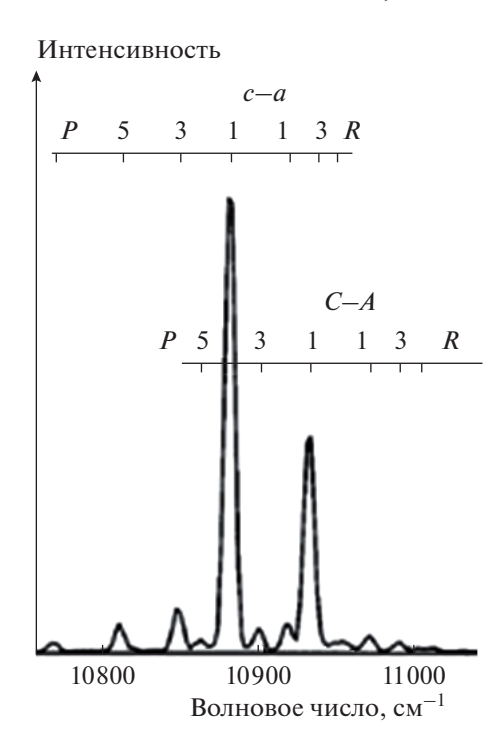
(рис. 6) мало пригодна для такой цели. Этот спектральный интервал заполнен синглетными и триплетными линиями различных ветвей, расположенных близко друг от друга, так, что их профили перекрываются. Поэтому в максимумы интенсивности вносят вклад несколько близких линий. Надежные результаты были получены при использовании интенсивностей трех неперекрывающихся P-линий триплета p(0), p(2), p(4), расположенных в интервале длин волн 920-930 нм.

Результаты расчетов представлены на рис. 7, из которого видно, что полученное распределение отлично от распределения Больцмана с температурой 4.2 К. Основным недостатком метода, предложенного для вычисления распределения заселенности верхних вращательных уровней, является малое число спектральных линий, пригодных для дальнейшего анализа. Причина — наложение соседних сильно уширенных линий. Известно, что уширение линий увеличивается при росте плотности среды, поэтому далее проведен анализ спектра, полученного в разреженном криогенном газе [13].

### АНАЛИЗ ПЕРЕХОДОВ c—a И C—A, НАБЛЮДАЕМЫХ В КРИОГЕННОМ, ГАЗООБРАЗНОМ ГЕЛИИ ПРИ 4.2 К

В экспериментах [13] люминесценция инициировалась пучком протонов, пересекающих газообразный гелий при 4.2 К и давлении насыщенного пара 150 Тор. Это термодинамическое состояние находится на газовой ветви кривой насыщения, где газ имеет малую плотность. Спектр переходов c-a и C-A, наблюдаемых в [13], представлен на рис. 8. В данной работе проведены идентификация линий и моделирование этого спектра. Результаты представлены на рис. 9. Они показали следующее. Длина волны вращательных линий синглета A-C и триплета a-c совпадает с длиной волны линий изолированной молекулы. Сдвиг линий равен нулю. Уширение линий составляет  $\Delta k = 9$  см<sup>-1</sup>, что соответствует  $\Delta \lambda = 0.75$  нм. Профиль Гаусса лучше соответствует экспериментальной форме линий, чем профиль Лоренца, который дает большее перекрытие линий, чем в наблюдаемом спектре. Искажение формы спектральных линий происходит вследствие "ударного" взаимодействия эксимера  $He_2^*$  с окружающими атомами, поэтому отношение сдвиг/ширина мало. Это отношение равно 0.15 для "ударного" взаимодействия и дает сдвиг  $9 \times 0.15 = 1.35$  см<sup>-1</sup>, который на рис. 8 незначителен.

В эксперименте [13] наблюдалось и было идентифицировано гораздо большее число линий. Интенсивности линий, полученные при моделировании спектра, использовались для расчета заселенностей вращательных уровней синглетного

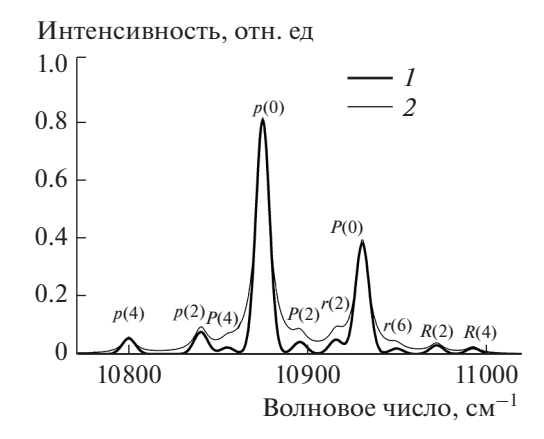


**Рис. 8.** Спектральные линии переходов  $C^1\Sigma_g^+ \Rightarrow A^1\Sigma_u^+$  и  $c^3\Sigma_g^+ \Rightarrow a^3\Sigma_u^+$  в Не при давлении 150 Тор и температуре 4.2 К (криогенный газ на линии насыщения) [13]: линии обозначены номером нижнего уровня перехода.

и триплетного термов. Результат расчета представлен на рис. 10. В газе наблюдались линии с одинаковыми номерами K, принадлежащие одному терму, но разным ветвям P и R. Поскольку эти линии принадлежат переходам с одного и того же уровня K, заселенности, полученные из интенсивностей P- и R-линий, должны быть равны, что следует из рис. 10. Заселенность уровней синглета больше, чем уровней триплета, т.е. в ансамбле возбужденных молекул в синглетном состоянии со спином, равным нулю, больше, чем молекул в состояниях со спином, равным единице. Этот факт может дать информацию о механизмах образования молекул в том или ином состоянии.

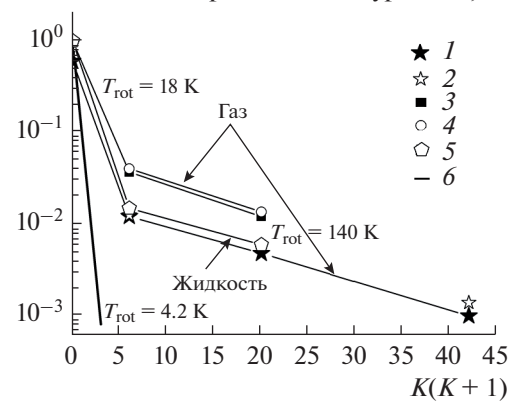
Заселенность уровней в криогенном газе равна заселенности, полученной из анализа спектра в жидком гелии. Это — странный результат, поскольку в разреженном газе излучающие молекулы или атомы подвержены ударам окружающих атомов, а в жидкости они окружены пустыми пузырьками. В последнем случае трудно представить механизм образования возбужденных состояний и радиационные переходы между ними. Однако результаты первого моделирования атомных спектров [14] удовлетворительно согласуются с экспериментом.

Анализ данных, полученных в криогенном газе [13], дает те же результаты, что и анализ насто-



**Рис. 9.** Моделирование спектра, наблюдаемого в облученном протонами газе He при 4.2 K на линии насыщения (150 Тор,  $3.6 \times 10^{20}$  см $^{-3}$ ): ширина линий  $\Delta k = 9$  см $^{-1}$  при профиле Лоренца (*1*) или Гаусса (*2*); ветви синглета *P*, *R* и триплета *p*, *r*.

Заселенности вращательных уровней, отн. ед.



**Рис. 10.** Заселенности вращательных K-уровней верхних термов триплета  $c^3\Sigma_g^+$  (I, 2) и синглета  $C^1\Sigma_g^+$  (3, 4), вычисленные по экспериментальным интенсивностям линий в газе [13], и спектра, наблюдаемого в жидком гелии в настоящих экспериментах (5) при 4.2 K: ветви триплета I, 5-p и 2-r; синглета 3-P и 4-R; 6- распределение Больцмана.

ящих экспериментов в жидкости. Распределение заселенностей неравновесное, на рис. 10 представлено ломаной линией. Для нескольких вращательных уровней K=2, 4, 6 наклон линии соответствует вращательной температуре 140 K, что выше температуры среды 4.2 K. Заселенности вращательных уровней с большим K значительно превышает больцмановские заселенности [15].

#### **ЗАКЛЮЧЕНИЕ**

Возбужденные молекулы образуются в зоне ионизации коронного разряда из-за взаимодействия возбужденных атомов в состояниях  $2^1 S$  и

2<sup>3</sup>*S* с атомами Не в основном состоянии. Это взаимодействие на малых расстояниях является притяжением. В жидкости возбужденные атомы Не\* окружены пустыми пузырьками. Такие пузырьки окружают и возбужденные молекулы Не<sup>2</sup><sub>2</sub>. Поэтому кинетика процессов образования возбужденных молекул сложна. Излучение при переходах с уровней верхнего терма на уровни нижнего терма зафиксировано в настоящих экспериментах. Форма спектральных линий этого излучения определяется распределением плотности окружающей среды вокруг излучающего атома [13, 14, 16].

#### СПИСОК ЛИТЕРАТУРЫ

- Surko C.M., Packard R.E., Dick G.J., Reif F. Spectroscopic Study of the Luminescence of Liquid Helium in the Vacuum Ultraviolet // Phys. Rev. Lett. 1970. V. 24. P. 657.
- 2. Dennis W.S., Durbin E., Fitzsimmons W.A., Heybey O., Walters G.K. Spectroscopic Identification of Excited Atomic and Molecular States in Electron-Bombarded Liquid Helium // Phys. Rev. Lett. 1969. V. 23. № 19. P. 1083
- 3. Soley F.J., Fitzsimmons W.A. Pressure Shift and Quenching of Atomic and Molecular States Produced in Electron-Bombarded Liquid Helium // Phys. Rev. Lett. 1974. V. 32. P. 988.
- Von Haeften K., Laarmann T., Wabnitz H., Moller T. Bubble Formation and Decay in <sup>3</sup>He and <sup>4</sup>He Clusters // Phys. Rev. Lett. 2002. V. 88. P. 233401.
- Li Z., Bonifaci N., Denat A., Atrazhev V. Negative Corona Discharge in Liquid Helium // IEEE Trans. Dielectr. Electr. Insulation. 2006. V. 13. P. 624.

- Li Z., Bonifaci N., Denat A., Aitken F., von Haeften K., Atrazhev V.M., Shakhatov V.A. Luminescence of Corona Discharge in Liquid Helium // IEEE Trans. Dielectr. Electr. Insulation. 2009. V. 16. P. 742.
- 7. *Ландау Л.Д., Лифшиц Е.М.* Квантовая механика. М.: Наука, 1989. С. 390.
- Kovacs I. Rotational Structure in the Spectra of Diatomic Molecules. London: Adam Hilger LTD, 1962. P. 118.
- 9. *Ginter M.L., Eden J.G.* Rydberg States of the Rare Gas Dimmers // J. Chem. Phys. 1965. V. 42. P. 561.
- 10. *Herzberg G.* Molecular Spectra and Molecular Structure. I. Spectra of Diatomic Molecules. N.J. Princeton: Van Nostrand Reinhold, 1950.
- 11. Focsa C., Bernath P.F., Colin R.J. The Low-Lying States of He<sub>2</sub> // Molec. Spectroscopy. 1998. V. 191. P. 209.
- 12. Atrazhev V.M., Eloranta J., Bonifaci N., Hai van Nguyen, Aitken F., von Haeften K., Vermeulen G. Excited Atoms in Cavities of Liquid He I: Long-Range inter-Atomic Repulsion and Broadening of Atomic Line // Eur. Phys. J. Appl. Phys. 2013. V. 61. P. 24302.
- Tokaryk D.V., Wagner G.R., Brooks R.L., Hunt J.L. Infrared Emission Spectra from Cryogenic Proton-Irradiated Helium Gas // J. Chem. Phys. 1995. V. 103. P. 10439.
- 14. Bonifaci N., Aitken F., Atrazhev V.M., Fiedler S.L., Eloranta J. Experimental and Theoretical Characterization of the Long-Range Interaction between He\*(3s) and He(1s) // Phys. Rev. A. 2012. V. 85. P. 042706.
- 15. *Шахатов В.А., Лебедев Ю.А.* Метод эмиссионной спектроскопии в исследовании влияния состава смеси гелия с азотом на характеристики тлеющего разряда постоянного тока и СВЧ-разряда // ТВТ. 2012. Т. 50. № 5. С. 705.
- 16. *Дьячков Л.Г.* Плавный переход от спектральных линий к континууму в плотной плазме водорода // ТВТ. 2016. Т. 54. № 1. С. 7.